

تأثیر مساحت زیرحوضه‌ها و روش‌های محاسبه زمان تمرکز بر شبیه‌سازی حجم رواناب شهری با استفاده از نرم‌افزار SewerGEMS (مطالعه موردی: شهرکرد)

محمدامین عبداللهی، جهانگیر عابدی کوپایی* و محمد مهدی متین‌زاده^۱

(تاریخ دریافت: ۱۴۰۳/۲/۱۳؛ تاریخ پذیرش: ۱۴۰۳/۳/۲۰)

چکیده

امروزه در پی تغییر اقلیم و گرم شدن کره زمین و باتوجه به تغییراتی که در نوع بارش‌ها اتفاق افتاده و عموماً از برف به باران تبدیل شده، مشکلات مربوط به سیل و آبگرفتی به‌ویژه در مناطق شهری افزایش یافته و به دنبال آن توجه به مدل‌های شبیه‌سازی بارش - رواناب به‌منظور مدیریت، کاهش و حل این مشکلات نیز افزایش یافته‌است. در این پژوهش با استفاده از نرم‌افزار SewerGEMS، سناریوهای مختلف با هدف عملکرد این مدل باتوجه به مساحت و تعداد زیرحوضه‌ها (۲ و ۸)، دوره‌های بازگشت مختلف (۲ و ۵ساله) و همچنین مقایسه چهار روش محاسبه زمان تمرکز (Carter, Bransby Williams, Kirpich, SCSlag) برای شبیه‌سازی هیدروگراف سیلاب در شهر شهرکرد بررسی شد. نتایج حاکی از آن است که با تغییر دوره بازگشت از ۲ به ۵ سال، دبی اوج تقریباً در همه سناریوها افزایش یافته‌است. همچنین باتوجه به میزان خطای پیوستگی محاسبه‌شده، روش Kirpich در برآورد زمان تمرکز برای تعداد زیرحوضه‌های بیشتر با مساحت‌های کوچکتر، ارجحیت دارد. برای سناریوی ۲ زیرحوضه، ۴ درصد برای دوره بازگشت ۲ ساله و ۱۹ درصد برای دوره بازگشت ۵ساله، میزان خطای پیوستگی محاسبه شده‌است. روش SCSlag در برآورد زمان تمرکز برای تعداد زیرحوضه‌های کمتر با مساحت‌های بزرگتر، ارجحیت دارد. در سناریوی ۸ زیرحوضه، ۱۶درصد برای دوره بازگشت ۲ ساله و ۱۱ درصد برای دوره بازگشت ۵ساله، محاسبه شده است.

واژه‌های کلیدی: مدل‌های شبیه‌سازی بارش - رواناب، دوره‌های بازگشت، سیلاب شهری، زمان تمرکز، SewerGEMS

۱. گروه علوم و مهندسی آب، دانشکده کشاورزی، دانشگاه صنعتی اصفهان، اصفهان، ایران.

*: مسئول مکاتبات: پست الکترونیکی: koupai@iut.ac.ir

مقدمه

شهرسازی با افزایش سطوح نفوذناپذیر همچون پشت‌بام خانه‌ها، جاده‌ها، و کوبیدگی خاک سبب افزایش دبی سیلاب می‌شود (۵). در پی ناکارآمدی سیستم‌های زهکشی شهری، سیل در مناطق شهری خسارت‌های زیادی به ساختمان‌ها و زیرساخت‌های خصوصی و عمومی وارد می‌کند. همچنین با مختل کردن رفت و آمدها، می‌تواند سبب از دست رفتن فرصت‌های تجاری شود (۱۰).

در بحث مدیریت حوضه آبریز، جمع‌آوری و کنترل سیلاب از اساسی‌ترین و مهم‌ترین موضوعات به شمار می‌رود. رویکرد مدیریت سیلاب شهری در بسیاری از کشورها در گذشته، رویکردی سنتی مبتنی بر جمع‌آوری، انتقال و دفع سیلاب بوده‌است. درحالی‌که امروزه رویکرد پیشنهادی، تکیه بر روش‌هایی دارد که بیشترین مطابقت را با فرایند طبیعی چرخه آب سطحی دارند که در اصطلاح به توسعه کم‌اثر (Low Impact Development) معروف هستند. استفاده از این روش در کشورهای توسعه‌یافته، راهبردی مهم در راستای مدیریت سیلاب شهری به‌شمار می‌رود. شکل گرفتن کلان‌شهرها و افزایش شهرنشینی در ایران نیز سبب شده تا مدیریت سیلاب شهری اهمیت زیادی پیدا کند. باتوجه‌به اینکه راهکارهای سنتی و قدیمی هزینه زیادی در جمع‌آوری و دفع سیلاب دارند؛ بنابراین استفاده از این روش‌های نوین موردتوجه قرار گرفته‌است (۷). در مبحث مدیریت رواناب شهری، هدف اصلی آن است که رواناب در سطح شهر جمع‌آوری شده و از آن مجدداً استفاده شود. همچنین اثرات مخرب محیط زیستی آن کم شود (۳).

عدم اتخاذ تدابیر لازم برای کاهش خطرات ناشی از سیلاب از سوی مسئولان و عدم آگاهی مردم در مقابله با سیلاب، می‌تواند خطرات ناشی از سیلاب شهری را تشدید کند. یک برنامه‌ریزی مناسب، آمادگی، اطلاع‌رسانی و پیشگیری می‌تواند منجر به کاهش خطرات و خسارات ناشی از سیلاب شود.

نرم‌افزارهای مختلفی در زمینه محاسبه و شبیه‌سازی رواناب شهری وجود دارد که به متخصصان این حوزه کمک بسیاری می‌کنند. نرم‌افزار EPA-SWMM به‌نوعی از شناخته‌شده‌ترین،

معروف‌ترین و متداول‌ترین نرم‌افزارهایی است که متخصصان این حوزه از آن استفاده می‌کنند. نرم‌افزار ASSA یکی دیگر از نرم‌افزارهای قدرتمند این حوزه محسوب می‌شود که در مبحث رواناب‌های شهری مورد استفاده کارشناسان قرار می‌گیرد. نرم‌افزارهای جدید شرکت Bently همچون CivilStorm، StormCAD و SewerGEMS از جمله نرم‌افزارهای جدیدی هستند که مورد توجه کارشناسان و متخصصان این حوزه قرار گرفته‌اند که به‌نوعی در حال رقابت با نرم‌افزارهای قدیمی‌تر همچون EPA-SWMM و ASSA هستند.

پیشینه پژوهش

جاداو و میشر در سال ۲۰۲۳، با استفاده از نرم‌افزار CivilStorm و روش استدلالی به برآورد رواناب و طراحی شبکه برای منطقه گاندیناگر هندوستان پرداختند. حوضه آبریز، ضریب رواناب و شدت بارندگی را از عوامل کلیدی حاکم بر طراحی نام بردند (۲). کریمی و همکاران در سال ۱۳۹۴، با استفاده از مدل EPA SWMM به شبیه‌سازی سیلاب ناشی از بارندگی در بابلسر پرداختند. نتایج حاکی از آن بود که شیب کم یا معکوس در برخی نقاط و کوچک بودن سطح مقطع مجاری از علل اصلی آبرفتگی شبکه در منطقه مد نظر بود (۴).

زبردست و روشنی در سال ۱۳۹۸، با استفاده از نرم‌افزار CivilStorm رواناب و هیدروگراف سیلاب را برای جنوب شهر مشهد محاسبه کرده و از آن برای گسترش فضای سبز شهری استفاده کردند. درنهایت بیان کردند، این نرم‌افزار توانایی شبیه‌سازی رواناب سطحی را برای منطقه مد نظر دارد (۱۱). رفیعی و همکاران در سال ۱۴۰۱، با ارزیابی عملکرد سه مدل SewerGEMS و EPA SWMM و ASSA در راستای تحلیل سیلاب شهری در شهر جدید لار، بیان کردند که مدل EPA SWMM در مقایسه با دو مدل دیگر در منطقه مد نظر در راستای شبیه‌سازی رواناب از دقت بیشتری برای مدیریت رواناب حوضه‌های شهری برخوردار است (۸).

هدف از این پژوهش، بررسی نتایج حاصل از شبیه‌سازی بارش - رواناب در برآورد هیدروگراف سیلاب شهری

کاربر می‌دهد:

1. 2D solver.

2. Implicit (SewerGEMS Dynamic Wave).

3. Explicit (SWMM Solver).

4. GVF - Convex (SewerCad).

5. GVF - Rational (StormCad).

در این پژوهش از حل‌کننده دوم استفاده شده است که طبق آن، معادلات کامل سنت و نانت را با استفاده از روش عددی ضمنی که توسط شرکت بتلی بر اساس مدل FLDWAV که توسط سرویس آب‌وهوای ایالات متحده (National Weather Service) توسعه یافته، حل می‌کند. معادلات سنت و نانت شامل دو معادله اصلی پیوستگی (معادله شماره ۱) و اندازه حرکت (مومنتم، معادله شماره ۲) است که به صورت تحلیلی و با استفاده از روش‌های عددی به حل آن‌ها می‌پردازد.

معادله پیوستگی:

$$\frac{\partial A}{\partial t} + \frac{\partial Q}{\partial x} = 0 \quad (1)$$

A: سطح مقطع عرضی جریان

Q: دبی جریان

t: زمان

x: محور طولی جریان

معادله اندازه حرکت:

$$\frac{\partial Q}{\partial t} + \frac{\partial}{\partial x} \left(\frac{Q^2}{A} \right) + gA \frac{\partial h}{\partial x} + gAi = 0 \quad (2)$$

g: شتاب گرانش

h: عمق جریان

i: شیب انرژی

برای تخمین دبی اوج از روش استدلالی (Rational Method) (معادله شماره ۳) استفاده می‌شود که فرمول آن به شرح زیر است:

$$Q_p = 0.278CIA \quad (3)$$

Q_p: دبی اوج رواناب (مترمکعب بر ثانیه)

C: ضریب رواناب

I: شدت بارندگی (میلی متر بر ساعت)

A: مساحت حوضه (کیلومتر مربع)

شهرکرد تحت سناریوهای مختلف زیرحوضه‌بندی و تعداد زیرحوضه‌ها با توجه به منحنی‌های شدت - مدت - فراوانی (Intensity - Duration - Frequency Curves) (IDF) و همچنین شبیه‌سازی تأثیر روش‌های مختلف محاسبه زمان تمرکز در هیدروگراف خروجی، با استفاده از نرم‌افزار SewerGEMS است. نوآوری این پژوهش، بررسی همزمان حوضه‌بندی و تعداد زیرحوضه‌ها و همچنین روش‌های محاسبه زمان تمرکز بر شبیه‌سازی هیدروگراف رواناب شهری شهر شهرکرد با استفاده از نرم‌افزار SewerGEMS است.

مواد و روش‌ها

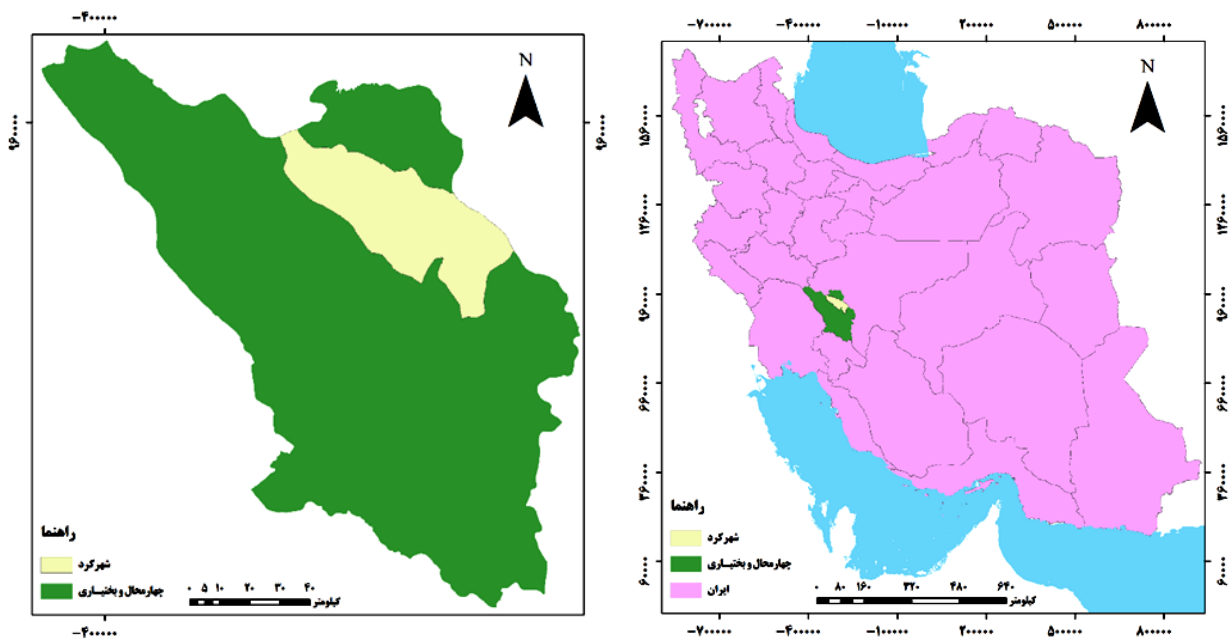
خصوصیات محدوده مورد مطالعه

شهرکرد، مرکز استان چهارمحال و بختیاری است. از لحاظ جغرافیایی در شمال رشته‌کوه زاگرس قرار گرفته است (شکل‌های ۱ و ۲) و میانگین دمای آن ۱۱/۵ درجه سلسیوس است.

طبق روش دومارتن، چهار اقلیم نیمه‌خشک، مدیترانه‌ای، نیمه‌مرطوب و بسیار مرطوب برای استان چهارمحال و بختیاری تشخیص داده شده است که شهرکرد دارای اقلیمی نیمه‌خشک است (۱). گفتنی است با توجه به اختلاف ارتفاع زیاد (حدود ۲۰۴۵ تا ۲۳۰۰ متر)، دارای شیب طولی زیاد است (شکل ۳).

معرفی نرم‌افزار

این نرم‌افزار امکان تحلیل و بررسی رواناب سطحی و حتی فاضلاب را به کاربر می‌دهد. برای تحلیل و بررسی می‌توان از الگوریتم استفاده‌شده در نرم‌افزار SWMM و یا حل ضمنی معادلات کامل سنت - نانت (Saint Venant) استفاده کرد. همچنین از قابلیت‌های این نرم‌افزار این است که توانایی ارائه جامع‌ترین راه‌حل موجود برای بهینه‌سازی طرح‌های بهترین روش‌های مدیریت (Best Management Practices) (BMP) را به کاربر می‌دهد. این نرم‌افزار قابلیت استفاده از پنج حل‌کننده (Solver) عددی زیر به منظور شبیه‌سازی روندیابی جریان به



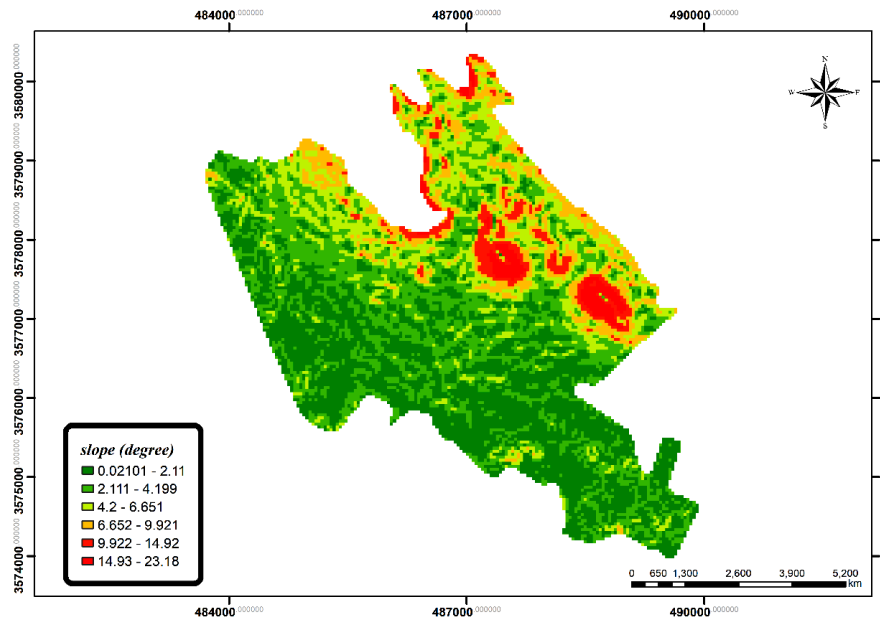
شکل ۱. موقعیت جغرافیایی استان چهارمحال و بختیاری، شهر کرد



شکل ۲. محدوده مطالعاتی

پس از انجام بازدیدهای میدانی متعدد، گرفتن نظر تعدادی از کارشناسان با تجربه محلی و استفاده از نرم‌افزارهایی همچون Google Earth Pro و GIS و AutoCad و همچنین نقشه‌های موجود در طرح تفصیلی و نقشه جامع شهری، صورت گرفت.

تعیین زیر حوضه‌ها، مشخصات آن‌ها و اطلاعات کانال‌ها نظر به اینکه تشخیص میان‌آب (خط‌الرأس) و ژرفگاه (خط‌القعر) در حوضه‌های شهری بسیار مشکل است، بنابراین مرزبندی و تعیین زیر حوضه‌ها نیز بسیار مشکل خواهد بود. مرزبندی و تعیین زیرحوضه‌ها



شکل ۳. نقشه شیب شهرکرد

کنترل آلودگی آب (۶)، کمک گرفته شده‌است و بسته به شرایط حوضه و قضاوت در مورد وضعیت موجود، مقدار آن برای هر زیرحوضه انتخاب شده‌است.

خطای پیوستگی نرم‌افزار

از نظر ریاضی، خطای پیوستگی یک اختلاف در موازنه جرم است که بر حسب درصد بیان می‌شود. معیاری برای آن است که متوجه شویم به چه اندازه نتایج از نظر هیدرولیکی پایدار هستند. هرچه این مقدار کوچکتر باشد، نتایج از نظر هیدرولیکی پایدارتر هستند.

$$\text{Continuity Error} = |(T_i - T_o - T_f - T_d)/T_i|$$

T_i = Total Inflow Volume

T_o = Total Outflow Volume

T_f = Total Overflow volume

T_d = Total Volume Change

در این پژوهش تأثیر تعداد و مساحت زیر حوضه‌ها، زمان تمرکز محاسبه شده با روش‌های مختلف و همچنین دوره بازگشت متفاوت با استفاده از نرم‌افزار SewerGEMS بررسی شد. در سناریوی اول، محدوده مورد مطالعه به ۲ زیرحوضه تقسیم شده (شکل ۵)، زمان تمرکز با روش‌های Bransby Williams, Kirpich, SCSlag و Carter محاسبه شده و با دوره بازگشت

برای اطلاعات بارش از ضرایب واسنجی شده نمودارهای شدت - مدت - فراوانی برای ایستگاه شهرکرد (شکل ۴) با دوره‌های بازگشت مختلف که توسط سازمان هواشناسی کشور ارائه شده‌است، استفاده شد (۹). سازمان هواشناسی از معادله شرمین برای این کار استفاده کرد (معادله شماره ۴) و ضرایب آن را به صورت زیر ارائه داد (جدول ۱):

$$i = \frac{a}{(D + b)^c} \quad (4)$$

i : شدت بارندگی (mm/hr)

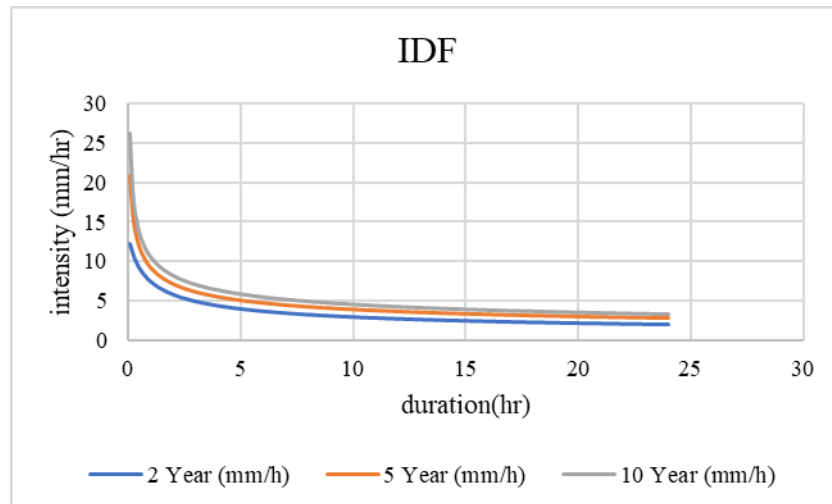
D : مدت بارندگی (hr)

a, b, c : ضرایب ثابت ارائه شده در جدول شماره ۱

شیب متوسط هر زیر حوضه با کمک نرم‌افزار GIS و نقشه‌های طرح تفصیلی و جامع شهر محاسبه شد. برای محاسبه زمان تمرکز هر زیرحوضه از چهار روش (Carter, Bransby Williams, Kirpich, SCSlag) که در نرم‌افزار SewerGEMS موجود است، استفاده شد.

تعیین ضریب رواناب و شماره منحنی

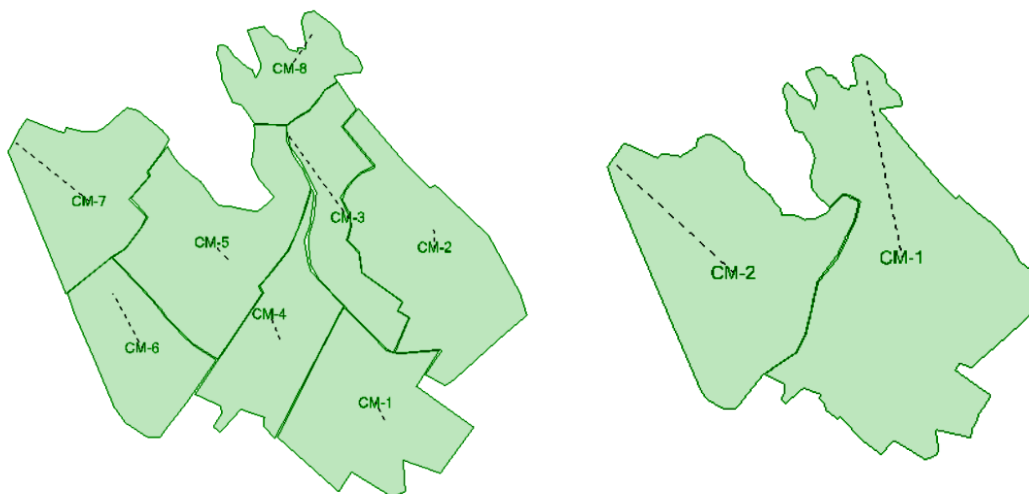
در این پژوهش از جداول ضریب رواناب و شماره منحنی پیشنهادی توسط جامعه مهندسان عمران آمریکا و فدراسیون



شکل ۴. نمودار شدت - مدت - فروانی استخراج شده از ضرایب ثابت معادله شدت - مدت - فروانی ایستگاه شهرکرد

جدول ۱. ضرایب ثابت ارائه شده توسط سازمان هواشناسی کشور برای ایستگاه شهرکرد

دوره بازگشت (سال)	a	b	c
۲	۵۹.۶۷	۲۳.۸	۰.۴۷
۵	۴۴.۱۵	۲.۲	۰.۳۸
۱۰	۴۷.۴۸	۰.۰۱۳	۰.۳۶۷



شکل ۵. تقسیم محدوده مطالعاتی به ۲ و ۸ زیر حوضه

انجام شد. سپس دوره بازگشت هر دو سناریو به ۵ سال تغییر پیدا کرده و دوباره شبیه‌سازی صورت گرفت. دبی اوج و حجم رواناب خروجی نیز برای سناریوها محاسبه شد.

۲ ساله شبیه‌سازی انجام شد. در سناریوی دوم، محدوده مورد مطالعه به ۸ زیرحوضه تقسیم (شکل ۵)، زمان تمرکز با همان چهار روش قبلی محاسبه و با دوره بازگشت ۲ ساله شبیه‌سازی

نتایج و بحث

در سناریوی ۲ زیرحوضه با دوره بازگشت ۲ ساله که زمان تمرکز با روش‌های SCSlag, Kirpich, Bransby Williams و Carter محاسبه شد، میزان خطای پیوستگی به ترتیب حدود ۱۶ و ۷۹ و ۴۶ و ۳۶ درصد بود (جدول ۲ و شکل ۶). در سناریوی ۸ زیرحوضه با دوره بازگشت ۲ ساله که زمان تمرکز با روش‌های SCSlag, Kirpich, Bransby Williams و Carter محاسبه شد، میزان خطای پیوستگی به ترتیب حدود ۳۱ و ۴ و ۲۷ و ۴۷ درصد بود (جدول ۳ و شکل ۷). در سناریوی ۲ زیرحوضه با دوره بازگشت ۲ ساله، هنگامی که دوره بازگشت به ۵ سال تغییر پیدا کرد، خطای پیوستگی به ترتیب حدود ۱۱ و ۱۳ و ۷۳ و ۳۴ درصد تغییر یافت (جدول ۴ و شکل ۸). در سناریوی ۸ زیرحوضه با دوره بازگشت ۲ ساله، هنگامی که دوره بازگشت به ۵ سال تغییر پیدا کرد، خطای پیوستگی به ترتیب حدود ۴۲ و ۱۹ و ۲۶ و ۳۴ درصد تغییر یافت (جدول ۵ و شکل ۹).

نتایج نشان می‌دهد، باتوجه به میزان خطای پیوستگی، روش SCSlag نسبت به سایر روش‌های زمان تمرکز در سناریوی ۲ زیرحوضه، قابل قبول بوده است. در سناریوی ۸ زیرحوضه، روش Kirpich نسبت به سایر روش‌های زمان تمرکز، قابل قبول بوده است. می‌توان چنین برداشت کرد که روش SCSlag در حوضه‌های بزرگتر عملکرد بهتری داشته، درحالی‌که با کوچک شدن مساحت، روش Kirpich ارجحیت دارد. همچنین با افزایش دوره بازگشت به ۵ سال، دبی اوج و حجم رواناب خروجی در همه سناریوها افزایش یافته است.

در سناریوی ۲ زیرحوضه با دوره بازگشت ۲ ساله، برای خروجی شماره ۲، بیشترین تخمین دبی اوج مربوط به سناریوی روش‌های Kirpich و Bransby Williams (با عددی تقریباً یکسان) بوده است و کمترین تخمین مربوط به سناریوی روش SCSlag است. باید به این نکته توجه داشت که خطای پیوستگی در روش SCSlag در این سناریو از همه کمتر بوده است. برای خروجی شماره ۱، بیشترین تخمین دبی اوج مربوط به سناریوی روش Carter بوده است و کمترین تخمین

مربوط به سناریوی روش Bransby Williams است. هنگامی که دوره بازگشت به ۵ سال تغییر پیدا کرد، برای خروجی شماره ۲، بیشترین تخمین دبی اوج مربوط به سناریوی روش Bransby Williams است و کمترین تخمین مربوط به سناریوی روش Carter است. برای خروجی شماره ۱، بیشترین تخمین دبی اوج مربوط به سناریوی روش Bransby Williams است و کمترین تخمین مربوط به سناریوی روش SCSlag است.

در سناریوی ۸ زیرحوضه با دوره بازگشت ۲ ساله، برای خروجی شماره ۱، بیشترین تخمین دبی اوج مربوط به سناریوی روش Carter و کمترین تخمین مربوط به سناریوی روش Bransby Williams است. برای خروجی شماره ۲، بیشترین تخمین دبی اوج مربوط به سناریوی روش Carter و کمترین تخمین مربوط به سناریوی روش Bransby Williams است. در همین سناریو هنگامی که دوره بازگشت به ۵ سال تغییر پیدا کرد، برای خروجی شماره ۱، بیشترین تخمین دبی اوج مربوط به سناریوی روش Carter و کمترین تخمین مربوط به سناریوی روش SCSlag است. برای خروجی شماره ۱، بیشترین تخمین دبی اوج مربوط به سناریوی روش Carter و کمترین تخمین مربوط به سناریوی روش SCSlag است.

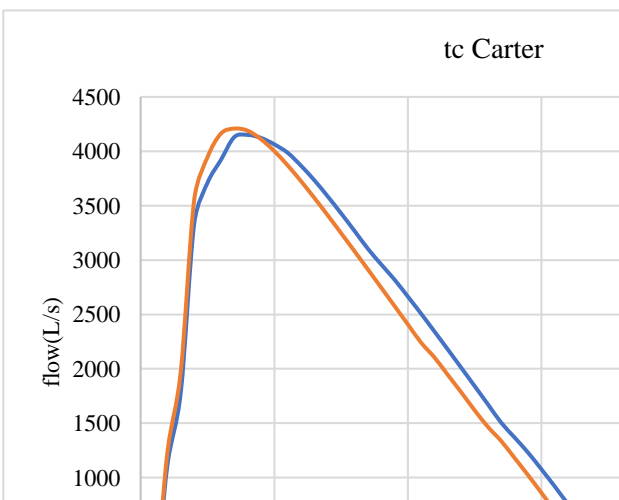
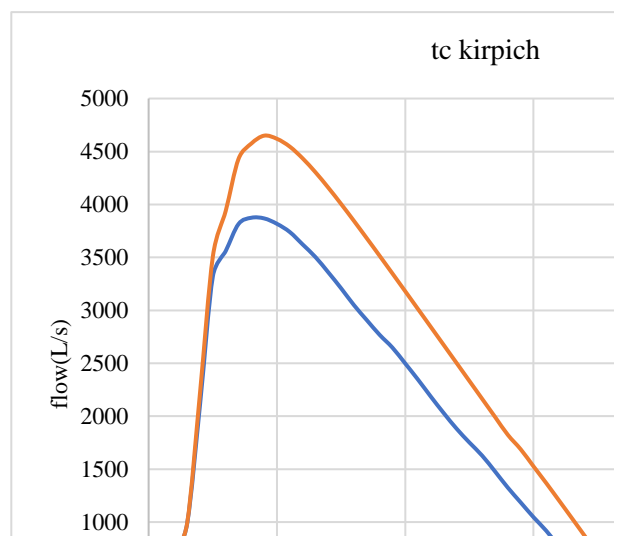
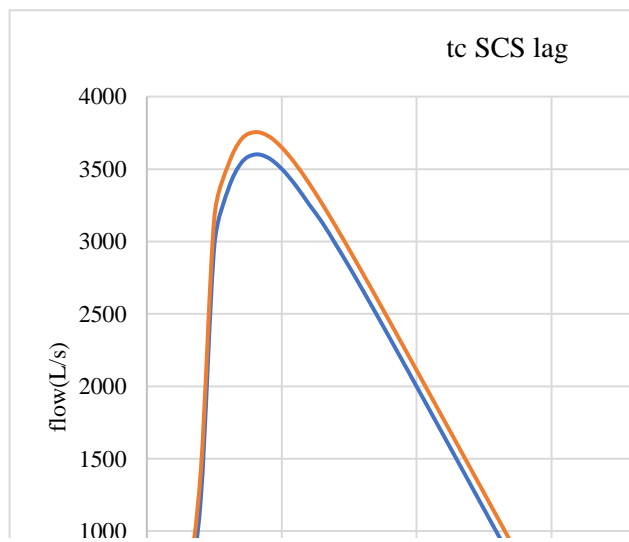
نتیجه‌گیری کلی

در این پژوهش با استفاده از نرم‌افزار SewerGEMS، سناریوهای مختلف با هدف عملکرد این مدل باتوجه به مساحت و تعداد زیرحوضه‌ها (۲ و ۸)، دوره‌های بازگشت مختلف (۲ و ۵ ساله) و همچنین مقایسه چهار روش محاسبه زمان تمرکز (SCSlag, Kirpich, Bransby Williams و Carter)، برای شبیه‌سازی هیدروگراف سیلاب در شهر شهرکرد بررسی شد. نتایج حاکی از آن است با تغییر دوره بازگشت از ۲ به ۵ سال، دبی اوج تقریباً در همه سناریوها افزایش یافته است (به جز روش Kirpich و Carter برای سناریوی ۲ زیرحوضه در خروجی دوم و همچنین به جز روش SCSlag در سناریوی ۸ زیرحوضه برای هر دو خروجی).

جدول ۲. نتایج سناریوی ۲ زیرحوضه (CM-1 و CM-2) با دوره بازگشت ۲ ساله و با روش‌های مختلف محاسبه زمان تمرکز

نام حوضه	مساحت (ha)	شماره منحنی	ضریب رواناب	شیب (m/m)	حجم کل خروجی (m ³)
CM-2	۶۸۲/۶۷۶	۹۰	۰/۶	۰/۰۴۷	۱۵۶۳۲۱/۸
CM-1	۱,۰۵۹/۸۲	۸۹	۰/۵	۰/۰۸	۲۰۲۳۳۵/۲

خطای پیوستگی (%)	زمان تمرکز (Carter) (hours)	خطای پیوستگی (%)	زمان تمرکز (Bransby Williams) (hours)	خطای پیوستگی (%)	زمان تمرکز (Kirpich) (hours)	خطای پیوستگی (%)	زمان تمرکز (SCSlag) (hours)
۳۶	۰/۶	۴۶	۱/۶۶	۷۹	۰/۸۴	۱۶	۱/۴۸
۳۶	۰/۶۷	۴۶	۲/۲۲	۷۹	۱/۰۵	۱۶	۱/۶۸

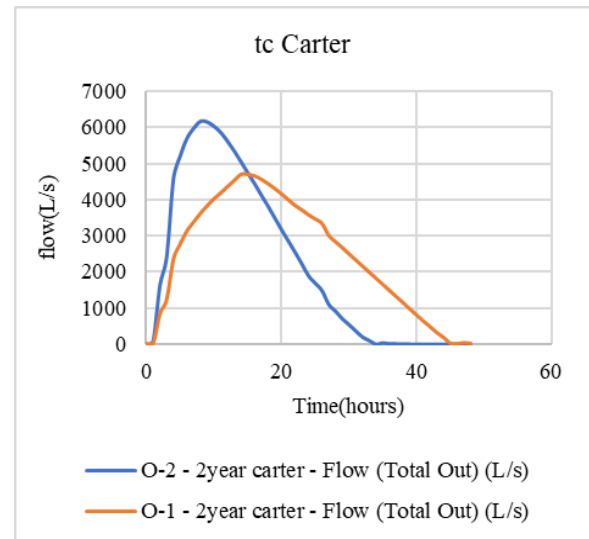
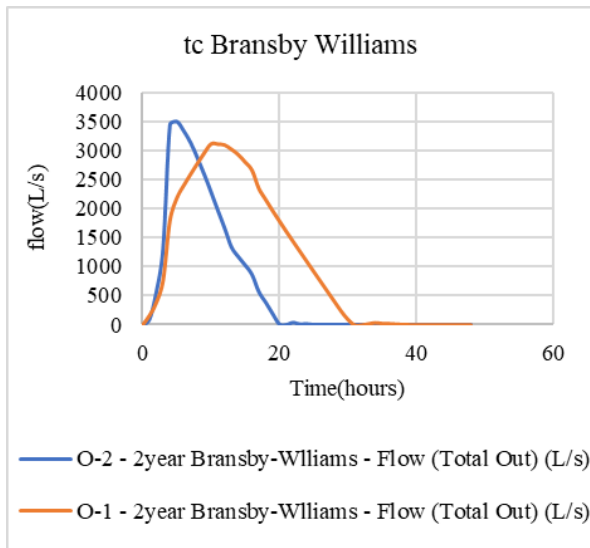
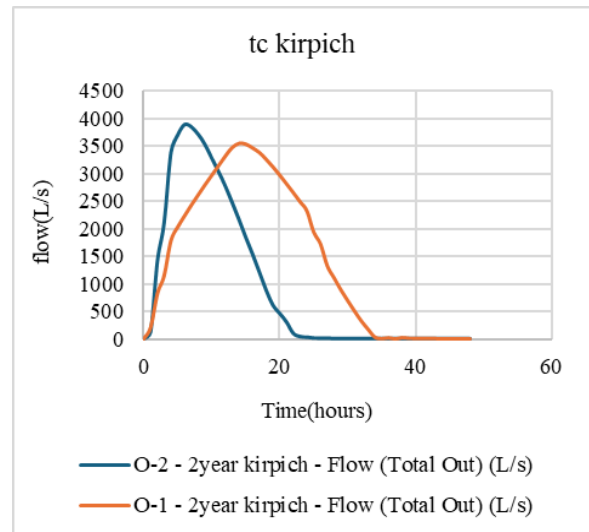
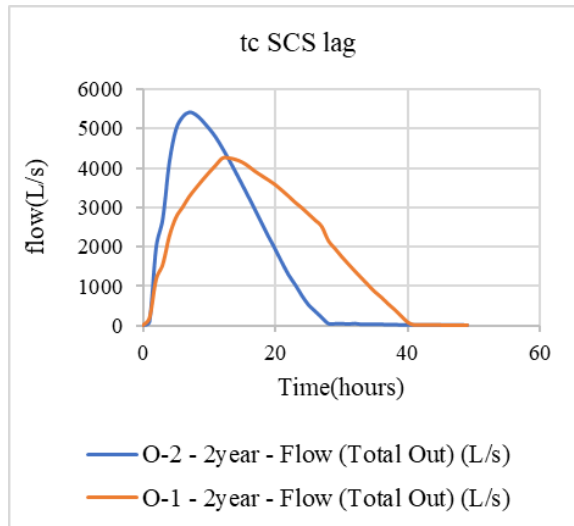


شکل ۶. هیدروگراف خروجی سیلاب شبیه‌سازی سناریوی ۲ زیرحوضه با دوره بازگشت ۲ ساله و با روش‌های مختلف محاسبه زمان تمرکز

جدول ۳. نتایج سناریوی ۸ زیرحوضه (CM-1 الی CM-8) با دوره بازگشت ۲ ساله و با روش‌های مختلف محاسبه زمان تمرکز

نام حوضه	شماره منحنی	مساحت (ha)	شیب (m/m)	ضریب رواناب	حجم کل خروجی (m ³)
CM-1	۹۰	۲۵۷/۱۸۷	۰/۰۱۸۷۷۹۴	۰/۵	۴۹,۰۷۶/۴
CM-2	۸۵	۳۰۸/۶۳۳	۰/۰۸۴۱۲۷۴۸	۰/۵	۵۸,۱۹۳/۳
CM-3	۸۰	۱۵۲/۹	۰/۱۳۶۶۱۷۶۸	۰/۴	۲۳,۳۴۱/۱
CM-4	۹۱	۱۷۸/۷۷۹	۰/۰۷۵۶۵۰۸۴	۰/۸	۵۴,۵۸۳/۵
CM-5	۸۵	۲۹۷/۷۸	۰/۰۶۴۷۸۶۱۹	۰/۶	۶۸,۱۸۶/۹
CM-6	۸۸	۱۷۵/۲۵۳	۰/۰۰۷۵۹۳۹۸	۰/۵۵	۳۶,۷۸۵/۹
CM-7	۸۵	۲۱۷/۸۴۸	۰/۰۸۲۹۰۶۴۳	۰/۵	۴۱,۵۶۹/۸
CM-8	۸۴	۱۱۳/۸۰۳	۰/۱۱۵۷۸۹۴۵	۰/۵	۲۱,۷۱۵/۸

نام حوضه	زمان تمرکز (SCSlag) (hours)	خطای پیوستگی (%)	زمان تمرکز (Kirpich) (hours)	خطای پیوستگی (%)	زمان تمرکز (Bransby Williams) (hours)	خطای پیوستگی (%)	زمان تمرکز (Carter) (hours)	خطای پیوستگی (%)
CM-1	۱/۶۹	۳۱	۰/۷۳۸	۴	۱/۴۶	۲۷	۰/۶۲	۴۷
CM-2	۱/۰۹	۳۱	۰/۵۹۳	۴	۱/۲۵	۲۷	۰/۴۴	۴۷
CM-3	۱/۱۳	۳۱	۰/۶۵۹	۴	۱/۳۹	۲۷	۰/۴۱	۴۷
CM-4	۰/۹۱	۳۱	۰/۶۸۴	۴	۱/۳۴	۲۷	۰/۴۵	۴۷
CM-5	۰/۹۵	۳۱	۰/۴۴۷	۴	۰/۹۴	۲۷	۰/۳۸	۴۷
CM-6	۱/۶۵	۳۱	۰/۶۲۴	۴	۰/۹۰	۲۷	۰/۵۳	۴۷
CM-7	۰/۷	۳۱	۰/۳۳۴	۴	۰/۷۴	۲۷	۰/۳۱	۴۷
CM-8	۰/۵	۳۱	۰/۲۳۹	۴	۰/۵۶	۲۷	۰/۲۴	۴۷

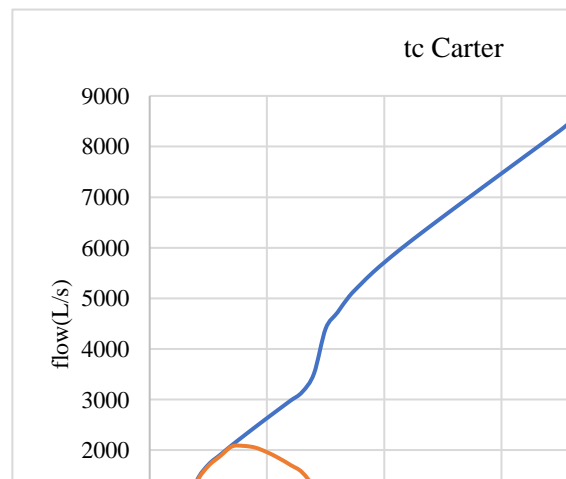
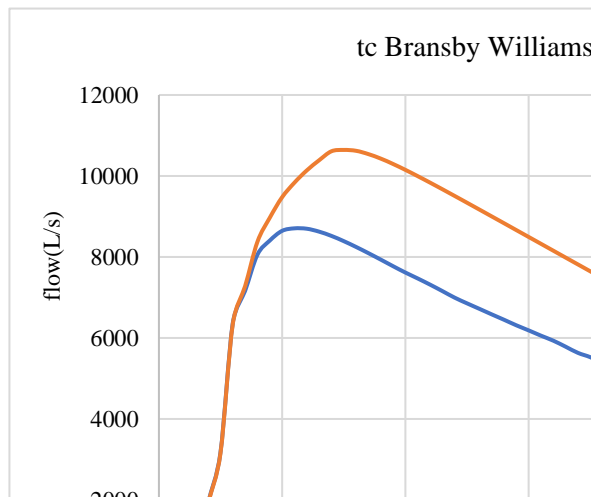
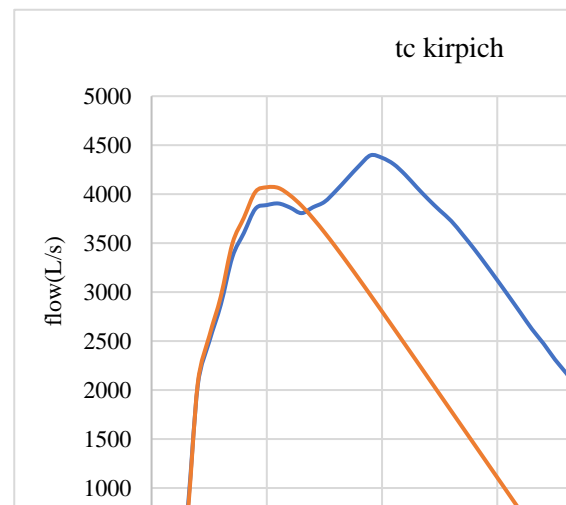
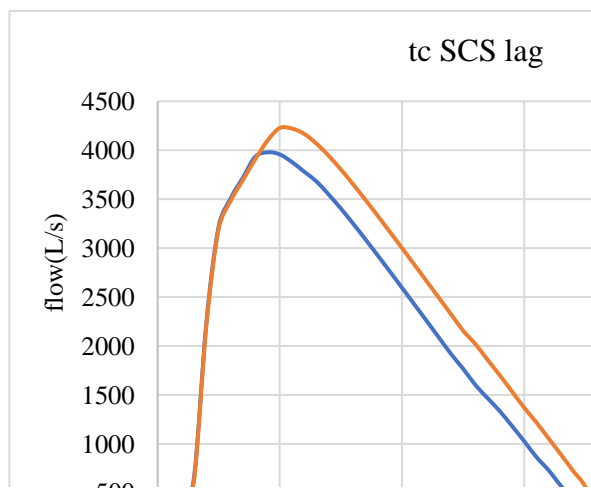


شکل ۷. هیدروگراف خروجی سیلاب شبیه‌سازی سناریوی ۸ زیر حوضه با دوره بازگشت ۲ ساله و با روش‌های مختلف محاسبه زمان تمرکز

جدول ۴. نتایج سناریوی ۲ زیر حوضه با دوره بازگشت ۵ ساله و با روش‌های مختلف محاسبه زمان تمرکز

نام حوضه	مساحت (ha)	شماره منحنی	ضریب رواناب	شیب (m/m)	حجم کل خروجی (m ³)
CM-2	۶۸۲/۶۷۶	۹۰	۰/۶	۰/۰۴۷	۲۸۹,۹۵۸/۹
CM-1	۱,۰۵۹/۸۲	۸۹	۰/۵	۰/۰۸	۳۷۵,۱۲۲/۹

نام حوضه	زمان تمرکز (SCSlag) (hours)	خطای پیوستگی (%)	زمان تمرکز (Kirpich) (hours)	خطای پیوستگی (%)	زمان تمرکز (Bransby Williams) (hours)	خطای پیوستگی (%)	زمان تمرکز (Carter) (hours)	خطای پیوستگی (%)
CM-2	۱/۴۸	۱۱	۰/۸۴	۱۳	۱/۶۶	۷۳	۰/۶	۳۴
CM-1	۱/۶۸	۱۱	۱/۰۵	۱۳	۲/۲۲	۷۳	۰/۶۷	۳۴



شکل ۸. هیدروگراف خروجی سیلاب شبیه‌سازی سناریوی ۲ زیرحوضه با دوره بازگشت ۵ ساله و با روش‌های مختلف محاسبه زمان تمرکز

۱۶ درصد برای دوره بازگشت ۲ ساله که مقدار آن به ترتیب ۶۳، ۳۰ و ۲۰ درصد نسبت به سه روش دیگر کمتر بوده و ۱۱ درصد برای دوره بازگشت ۵ ساله که به ترتیب ۲، ۶۲ و ۲۳ درصد نسبت به سه روش دیگر کمتر بوده است.

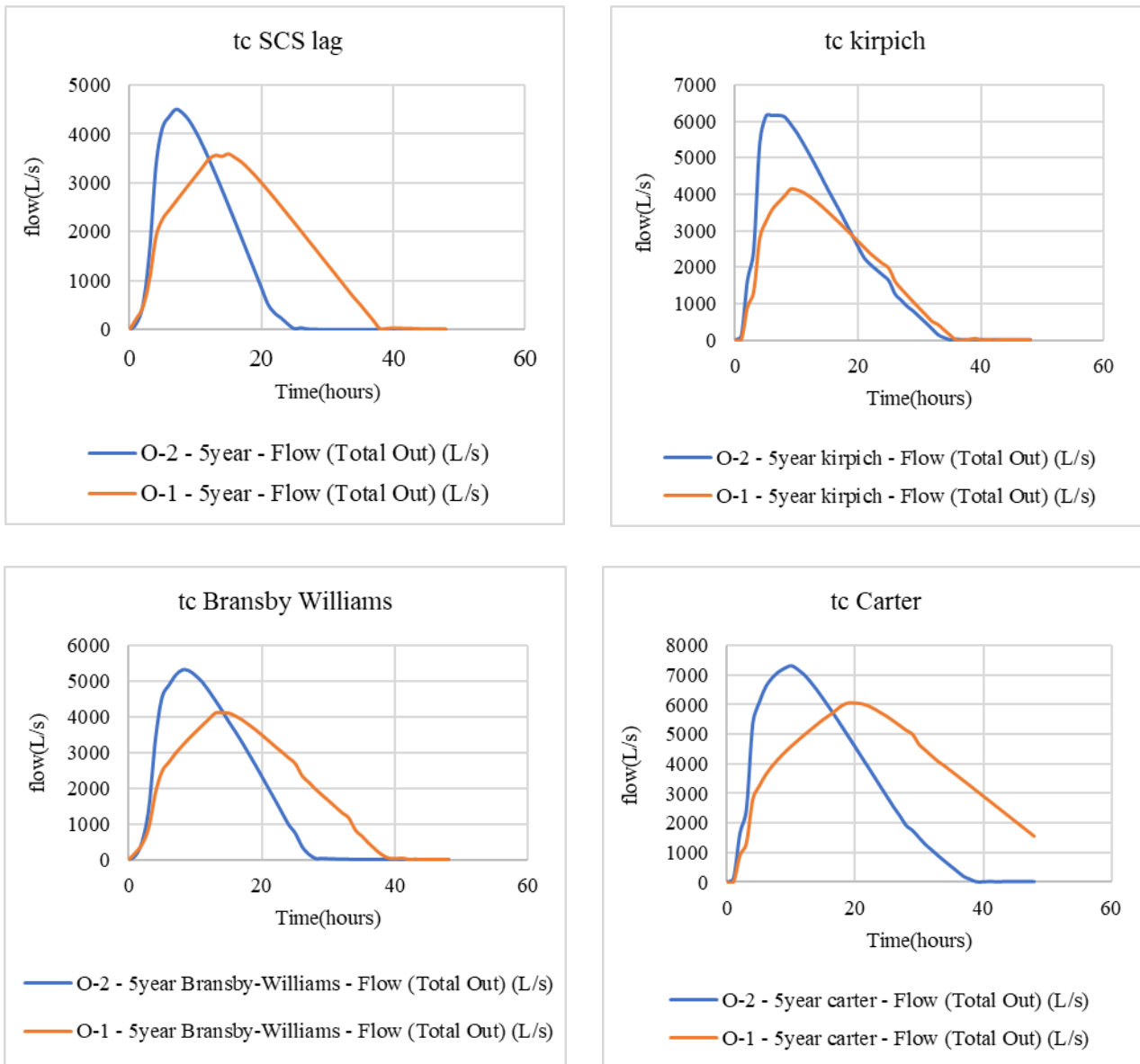
همان‌طور که نتایج نشان داد، شناخت روش دقیق محاسبه زمان تمرکز در طراحی صحیح شبکه‌های آبراهه سطحی و دفع رواناب مؤثر است. به طوری که روش‌های مختلف محاسبه زمان تمرکز در میزان دبی اوج هیدروگراف سیلاب تأثیر گذاشته است. علاوه بر این نتایج نشان داد، زیرحوضه‌بندی و تعداد زیرحوضه‌ها نیز تأثیر مهمی در طراحی شبکه آبراهه سطحی دارد.

همچنین با توجه به میزان خطای پیوستگی محاسبه‌شده، روش Kirpich در برآورد زمان تمرکز برای تعداد زیرحوضه‌های بیشتر با مساحت‌های کوچکتر قابل قبول‌تر است. به عبارت دیگر برای سناریوی ۸ زیرحوضه، ۴ درصد برای دوره بازگشت ۲ ساله که به ترتیب مقدار آن ۲۷، ۲۳ و ۴۳ درصد نسبت به سه روش دیگر کمتر بوده و ۱۹ درصد برای دوره بازگشت ۵ ساله که مقدار آن به ترتیب ۲۳، ۷ و ۱۵ درصد نسبت به سه روش دیگر کمتر بوده است. روش SCSlag در برآورد زمان تمرکز برای تعداد زیرحوضه‌های کمتر با مساحت‌های بزرگتر قابل قبول‌تر است. به عبارت دیگر در سناریوی ۲ زیرحوضه،

جدول ۵. نتایج سناریوی ۸ زیرحوضه با دوره بازگشت ۵ ساله و با روش‌های مختلف محاسبه زمان تمرکز

نام حوضه	شماره منحنی	مساحت (ha)	شیب (m/m)	ضریب رواناب	حجم کل خروجی (m ³)
CM-1	۹۰	۰/۵	۲۵۷/۱۸۷	۰/۰۱۸۷۷۹	۹۱,۰۳۱/۰
CM-2	۸۵	۰/۵	۳۰۸/۶۳۳	۰/۰۸۴۱۲۷	۱۰۹,۲۴۰/۳
CM-3	۸۰	۰/۴	۱۵۲/۹	۰/۱۳۶۶۱۸	۴۳,۲۹۵/۱
CM-4	۹۱	۰/۸	۱۷۸/۷۷۹	۰/۰۷۵۶۵۱	۱۰۱,۲۴۶/۱
CM-5	۸۵	۰/۶	۲۹۷/۷۸	۰/۰۶۴۷۸۶	۱۲۶,۴۷۸/۷
CM-6	۸۸	۰/۵۵	۱۷۵/۲۵۳	۰/۰۰۷۵۹۴	۶۸,۲۳۳/۵
CM-7	۸۵	۰/۵	۲۱۷/۸۴۸	۰/۰۸۲۹۰۶	۷۷,۱۰۷/۲
CM-8	۸۴	۰/۵	۱۱۳/۸۰۳	۰/۱۱۵۷۸۹	۴۰,۲۸۰/۳

نام حوضه	زمان تمرکز (SCSlag) (hours)	خطای پیوستگی (%)	زمان تمرکز (Kirpich) (hours)	خطای پیوستگی (%)	زمان تمرکز (Bransby Williams) (hours)	خطای پیوستگی (%)	زمان تمرکز (Carter) (hours)	خطای پیوستگی (%)
CM-1	۱/۶۹	۴۲	۰/۷۳۸	۱۹	۱/۴۶	۱۹	۰/۶۲	۳۴
CM-2	۱/۰۹	۴۲	۰/۵۹۳	۱۹	۱/۲۵	۱۹	۰/۴۴	۳۴
CM-3	۱/۱۳	۴۲	۰/۶۵۹	۱۹	۱/۳۹	۱۹	۰/۴۱	۳۴
CM-4	۰/۹۱	۴۲	۰/۶۸۴	۱۹	۱/۳۴	۱۹	۰/۴۵	۳۴
CM-5	۰/۹۵	۴۲	۰/۴۴۷	۱۹	۰/۹۴	۱۹	۰/۳۸	۳۴
CM-6	۱/۶۵	۴۲	۰/۶۲۴	۱۹	۰/۹۰	۱۹	۰/۵۳	۳۴
CM-7	۰/۷	۴۲	۰/۳۳۴	۱۹	۰/۷۴	۱۹	۰/۳۱	۳۴
CM-8	۰/۵	۴۲	۰/۲۳۹	۱۹	۰/۵۶	۱۹	۰/۲۴	۳۴



شکل ۹. هیدروگراف خروجی سیلاب شبیه‌سازی سناریوی ۸ زیرحوضه با دوره بازگشت ۵ ساله و با روش‌های مختلف محاسبه زمان تمرکز

منابع مورد استفاده

1. Fattahi, R., M. Shayanzadeh and K. Abdollahi. 2013. Estimation and Reconstruction of Annual Maximum 24-H Rainfall Data Using Combination of Genetic Algorithm and Artificial Neural Networks Models (Case Study: Chaharmahal va Bakhtiyari Province). *Iranian Journal of Watershed Management Science and Engineering* 7(22): 53-62.
2. Jadav, D. and K. Mishra. 2023. Design of urban stormwater drainage at Gandhinagar tp area based on civilstorm software. *International Journal of Progressive Research in Engineering Management and Science* 3: 206-212.
3. Karamouz, M., S. Nazif and Z. Zahmatkesh. 2013. Self-organizing Gaussian-based downscaling of climate data for simulation of urban drainage systems. *Journal of Irrigation and Drainage Engineering* 139(2): 98-112.
4. Karimi, V., K. Solaimani, M.H. Roshan and K. Shahedi. 2015. Simulation of flow in open & closed conduits by EPA-SWMM model (case study: Babolsar urban watershed). *Journal of Watershed Management Research* 6(11):162-170.

5. Leopold LB. 1968. Hydrology for urban land planning: A guidebook on the hydrologic effects of urban land use. US Geoloical Survey, Pennsylvania.
6. Maidment, D.R. 1992. Handbook of hydrology. MacGraw Hill, New York.
7. Panahi, G. and K. Esmaili. 2018. Recommendation of new approaches for urban flood management. *Journal of Water and Sustainable Development* 5(1): 93-100.
8. Rafiee, M.R., D. Rasouli, M. Zolghadr and M. Mahbod. 2022. Evaluation of EPA SWMM, ASSA and Sewer GEMS Models in Analysis of Urban Flood Collected by Surface Drainage Network (Case Study: Lar New City). *Water Resources Engineering* 15(54): 107-24.
9. Samadi borojeni, H., K. Emad and R. Fattahi. 2011. Evaluation of short term rainfall analysis methods (case study: shahrekord station). *Journal of Water Sciences and Engineering* 1(1):7-19.
10. Schmitt, T.G., M. Thomas and N. Ettrich. 2004. Analysis and modeling of flooding in urban drainage systems. *Journal of Hydrology* 299(3-4): 300-11.
11. Zebardast, M. and A. Roshani. 2019. Investigating the Use of Urban Rainfall for Green Space Usage using Civil Storm Software (Case Study: Southern Part of Mashhad City). *Journal of Water and Sustainable Development* 6(1): 51-60.

The Effect of the Sub-Basins Area and Methods of Calculating Concentration Time on the Simulation of Urban Runoff Volume Using SewerGEMS Software. (Case Study: Shahrekord)

M. A. Abdollahi, J. Abedi Koupai* and M. M. Matinzadeh¹

(Received: May 2-2024 ; Accepted: June 9-2024)

Abstract

Today, the problems related to floods and inundation have increased, particularly in urban areas due to climate change, global warming, and the change in precipitation from snow to rain. Therefore, there has also been an increasing focus on rainfall-runoff simulation models to manage, reduce, and solve these problems. This research utilized SewerGEMS software to explore different scenarios to evaluate the model's performance based on the number of sub-basins (2 and 8) and return periods (2 and 5 years). Additionally, four methods of calculating concentration time (SCSlag, Kirpich, Bransby Williams, and Carter) were compared to simulate flood hydrographs in Shahrekord city. The results indicated that increasing the return period from 2 to 5 years leads to an increase in peak discharge in all scenarios. Furthermore, based on the calculated continuity error, the Kirpich method is preferred to estimate the concentration-time in scenarios with more sub-basins and smaller areas. For the 2-year return period, a continuity error of 4% was calculated for the scenario with 2 sub-basins, while for the 5-year return period, the continuity error was 19%. On the other hand, the SCSlag method is preferred to estimate the concentration-time in scenarios with fewer sub-basins and larger areas. For the scenario with 8 sub-basins, a continuity error of 16% was calculated for the 2-year return period, and 11% for the 5-year return period.

Keywords: Rainfall-runoff simulation models, Return periods, Urban flood, Concentration time, SewerGEMS.

1. Department of Water Science and Engineering, College of Agriculture, Isfahan University of Technology, Isfahan, Iran.

*: Corresponding author, Email: koupai@iut.ac.ir